

СОЧЛЕНЕНИЕ *H*- и ПРЯМОУГОЛЬНОГО ВОЛНОВОДОВ

Н. В. Ляпунов, Б. Ф. Заяц

В целом ряде работ [1, 2, 3] описываются свойства *H*- и *P*-волноводов, приводятся формулы для расчета критических частот, постоянной затухания, предельной мощности и характеристического сопротивления. Однако в известной нам литературе совершенно не затрагиваются вопросы расчета неоднородностей в *H*- и *P*-волноводах. Между тем расчет параметров неоднородностей в таких волноводах имеет немаловажное значение не только для конструирования передающих трактов, но и в ряде смежных вопросов. В частности, в качестве вывода высокочастотных колебаний часто используется отрезок *H*-волновода, соединенный с прямоугольным волноводом. Расчет неоднородности подобного вида в литературе отсутствует. В настоящей работе сделана попытка получить расчетные формулы для определения полной проводимости указанного сочленения.

1. Теоретическая часть

При расчете будем предполагать, что *H*-волновод в плоскости сочленения расположен симметрично (рис. 1), а также что сочленение находится в сечении $z = 0$ и заключено между двумя полубесконечными отрезками регулярных прямоугольного и *H*-образного волноводов. Предполагаем также, что энергия распространяется из *H*-волновода в прямоугольный.

Составляющую электрического поля по оси Y в *H*-волноводе для волны H_{10} , согласно [4], можно записать в виде

$$E_{y0}^{(i)} = \sum_{n=0}^{\infty} A_n \xi_n^{(i)} \cos [p_n^{(i)} (y - d_i)] \sin [s_{n0}^{(i)} (x - a_i)] e^{-j\gamma_0 z} = \\ = A_0^{(+)} \omega_{e0}^{(i)} (x, y) e^{-j\gamma_0 z}, \quad (1)$$

здесь $\omega_{e0}^{(i)} (x, y)$ — функция координат;
 γ_0 — постоянная распространения;

$$\kappa_0^2 = (s_{n0}^{(i)})^2 + (p_n^{(i)})^2; \quad p_n^{(i)} = \frac{n\pi}{h_i} = \frac{n\pi}{b_i - d_i}.$$

Принято без ущерба для общности, что амплитуда падающей на сочленение волны равна единице, т. е. $A_0^{(+)} = 1$. В плоскости сочленения ($z = 0$) установится некоторое распределение электрического поля $E^{(i)}(x, y)$. Вблизи от сочленения при $z < 0$ (в *H*-волноводе) поле может быть записано как

$$E_y^{(i)} = \omega_{e0}^{(i)} (x, y) [e^{-j\gamma_0 z} + R e^{j\gamma_0 z}] + \sum_{k=1}^{\infty} A_k \omega_{ek}^{(i)} (x, y) e^{jkz}, \quad (2)$$

здесь $\frac{A_0^{(-)}}{A_0^{(+)}} = R$ — коэффициент отражения по напряжению;

$$\gamma_k = \sqrt{x_k^2 - k^2}; \quad x_k^2 = (s_{nk}^{(i)})^2 + p_{nk}^{(i)})^2.$$

В прямоугольном волноводе, естественно, поле вблизи сочленения записывается в виде

$$E_y = TV_{10}(x, y) e^{-j\gamma_{10}z} + \sum_m \sum_n A_{mn} V_{mn}(x, y) e^{-j\gamma_{mn}z}, \quad (3)$$

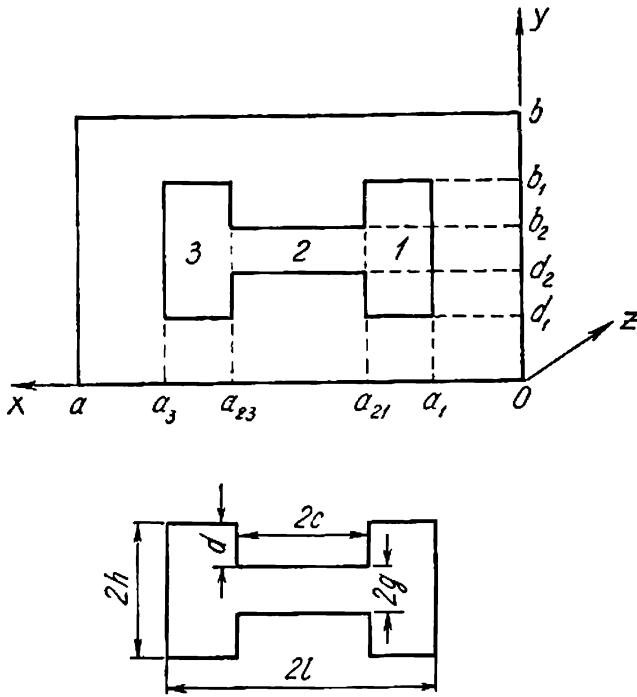


Рис. 1.

где T — коэффициент прохождения по напряжению;

$$\gamma_{mn} = \sqrt{x_{mn}^2 - k^2}; \quad x_{mn}^2 = \left(\frac{m\pi}{a}\right)^2 + \left(\frac{n\pi}{b}\right)^2.$$

В плоскости сочленения электрическое поле равно нулю на металлических поверхностях и равно некоторому полю $E^{(i)}(x, y)$ в отверстии.

Что касается магнитных составляющих полей, то они могут быть записаны при $z < 0$ как

$$H_x^{(i)} = \frac{j}{\omega \mu} \left\{ -j\gamma_0 \omega_{eo}^{(i)}(x, y) [e^{-j\gamma_{10}z} - Re^{j\gamma_{10}z}] + \sum_{k=1}^{\infty} \frac{A_k}{\gamma_k} [(s_{n0}^{(i)})^2 + k^2] \omega_{ek}^{(i)}(x, y) e^{jkz} \right\} \quad (4)$$

и при $z > 0$ как

$$H_x = \frac{j}{\omega \mu} \left\{ -j\gamma_{10} TV_{10}(x, y) e^{-j\gamma_{10}z} - \sum_m \sum_n \frac{A_{mn}}{\gamma_{mn}} (x_x^2 - k^2) V_{mn}(x, y) e^{-j\gamma_{mn}z} \right\}. \quad (5)$$

Из (2) и (3) можно получить выражения для A_k и A_{mn} :

$$A_k = \frac{\sum_{i=1}^3 \int_{S_i} E^{(i)}(x, y) \omega_{ek}^{(i)}(x, y) dS_i}{\sum_{i=1}^3 \int_{S_i} [\omega_{ek}^{(i)}(x, y)]^2 dS_i}; \quad (6)$$

$$A_{mn} = \frac{\sum_{i=1}^3 \int_{S_i} E^{(i)}(x, y) V_{mn}(x, y) dS_i}{\int_{S_n} [V_{mn}(x, y)]^2 dS} . \quad (7)$$

Если теперь записать уравнение непрерывности магнитных составляющих полей на отверстиях и вместо A_k и A_{mn} подставить выражения (6) и (7), то получим интегральное уравнение для электрического поля $E^{(i)}(x, y)$ в плоскости сочленения и для коэффициента отражения R :

$$(1 - R) \gamma_0 \omega_{e0}^{(i)}(x, y) + j \sum_{k=1}^{\infty} \frac{k^2 + (s_{hk}^{(i)})^2}{\gamma_k} \omega_{ek}^{(i)}(x, y) \cdot \frac{\sum_{i=1}^3 \int_{S_i} E^{(i)}(x, y) \omega_{ek}^{(i)}(x, y) dS_i}{\sum_{i=1}^3 \int_{S_i} [\omega_{ek}^{(i)}(x, y)]^2 dS_i} = \\ = \gamma_{10} V_{10}(x, y) \frac{\sum_{i=1}^3 \int_{S_i} E^{(i)}(x, y) V_{10}(x, y) dS_i}{\sum_{i=1}^3 \int_{S_i} [V_{10}(x, y)]^2 dS} - \\ - j \sum_{m+n} \frac{s_x^2 - k^2}{\gamma_{mn}} V_{mn}(x, y) \frac{\sum_{i=1}^3 \int_{S_i} E^{(i)}(x, y) V_{mn}(x, y) dS_i}{\int_{S_n} [V_{mn}(x, y)]^2 dS} . \quad (8)$$

Это уравнение, в принципе, можно было бы решать непосредственно, однако такое решение весьма затруднительно. Поэтому можно использовать следующий прием. Умножим левую и правую часть (8) на $E^{(i)}(x, y)$ и проинтегрируем по площади сочленения, полученное выражение умножим на

$$1 + R = \frac{\sum_{i=1}^3 \int_{S_i} E^{(i)}(x, y) \omega_{e0}^{(i)}(x, y) dS_i}{\sum_{i=1}^3 \int_{S_i} [\omega_{e0}^{(i)}(x, y)]^2 dS_i} . \quad (9)$$

Теперь, если учесть, что

$$\frac{1-R}{1+R} = \tilde{G} + j\tilde{B},$$

то мы получим выражение

$$\tilde{G} + j\tilde{B} = \frac{\gamma_{10}}{\gamma_0} \cdot \frac{\sum_{i=1}^3 \int_{S_i} [\omega_{e0}^{(i)}(x, y)]^2 dS_i}{\int_{S_0} [V_{10}(x, y)]^2 dS} \cdot \frac{\left[\sum_{i=1}^3 \int_{S_i} E^{(i)}(x, y) V_{10}(x, y) dS_i \right]^2}{\left[\sum_{i=1}^3 \int_{S_i} E^{(i)}(x, y) \omega_{e0}^{(i)}(x, y) dS_i \right]^2} - \\ - j \sum_{k=1}^{\infty} \frac{k^2 - (s_{nk}^{(i)})^2}{\gamma_0 \gamma_k} \cdot \frac{\sum_{i=1}^3 \int_{S_i} [\omega_{ek}^{(i)}(x, y)]^2 dS_i}{\sum_{i=1}^3 \int_{S_i} [\omega_{e0}^{(i)}(x, y)]^2 dS_i} \cdot \frac{\left[\sum_{i=1}^3 \int_{S_i} E^{(i)}(x, y) \omega_{ek}^{(i)}(x, y) dS_i \right]^2}{\left[\sum_{i=1}^3 \int_{S_i} E^{(i)}(x, y) \omega_{e0}^{(i)}(x, y) dS_i \right]^2}. \quad (10)$$

Используя идею Швингера [5], можно показать, что (10) стационарно относительно малых вариаций поля $E^{(i)}(x, y)$. Стационарность (10) позволяет нам, не решая интегрального уравнения (8), задать поле $E^{(i)}(x, y)$, исходя из физических представлений о характере распределения поля в отверстии сочленения волноводов.

Вообще говоря, поле $E^{(i)}(x, y)$ следовало бы задать в виде

$$E^{(i)}(x, y) = \sum_{k=0}^{\infty} C_k \omega_{ek}^{(i)}(x, y). \quad (11)$$

Однако, как показали работы ряда авторов [5, 6, 7], даже в том случае, когда в выражении для поля (11) оставлен лишь один член, получается хорошее совпадение теории и эксперимента.

Зададим поэтому поле в отверстии сочленения в виде

$$E^{(i)}(x, y) = C_0 \omega_{e0}^{(i)}(x, y).$$

Если в выражениях $\omega_{ek}^{(i)}(x, y)$ оставить лишь «нулевые» пространственные гармоники и выполнить интегрирование в (10), для активной и реактивной составляющих полной нормированной проводимости получаются выражения:

$$\tilde{B} = \frac{1}{\gamma_0} \left\{ \sum_{k=1}^{\infty} \gamma_k \frac{(2U_0 U_k M_k + N_k)^2}{(2U_0^2 K_0 + L_0)(2U_k^2 K_k + L_k)} - \right. \\ \left. - \sum_m \sum_n \frac{\pi_k^2 - k^2}{\gamma_{mn}} \cdot \frac{4(2U_0 P_{mn} + Q_{mn})^2}{ab(2U_0^2 K_0 + L_0)} \right\}, \quad (12)$$

где введены следующие обозначения:

$$U_k = \frac{g}{h} \cdot \frac{\sin [\pi_k(a_{21} - x_k)]}{\sin \pi_k a_{21}}; \\ a_k = a_1 + l - \frac{\pi}{2\pi_k} (2k - 1); \\ K_k = h \left(d - \frac{\sin 2\pi_k d}{2\pi_k} \right); \\ L_k = g \left\{ \frac{c}{2} - \frac{\sin 2\pi_k c \cos [\pi(2k - 1)]}{2\pi_k} \right\};$$

$$\begin{aligned}
 M_k &= h \left\{ \frac{\sin [f(x_0 - x_k)]}{x_0 - x_k} - \frac{\sin [f(x_0 + x_k)]}{x_0 + x_k} \right\}; \\
 N_k &= 2g \left\{ \frac{\sin [c(x_0 - x_k)] \cos [\pi(k-1)]}{x_0 - x_k} - \frac{\sin [c(x_0 + x_k)] \cos \pi k}{x_0 + x_k} \right\}; \\
 P_{mn} &= \frac{2b}{n\pi} \cos \frac{n\pi}{2} \sin \frac{n\pi h}{2} \left\{ \frac{\sin \left[\frac{d}{2} \left(x_0 - \frac{m\pi}{a} \right) \right] \cos \left[\frac{x_0 d}{2} - \frac{m\pi}{2a} (a_1 + a_{21}) \right]}{x_0 - \frac{m\pi}{a}} - \right. \\
 &\quad \left. - \frac{\sin \left[\frac{d}{2} \left(x_0 + \frac{m\pi}{a} \right) \right] \cos \left[\frac{x_0 d}{2} + \frac{m\pi}{2a} (a_1 + a_{21}) \right]}{x_0 + \frac{m\pi}{a}} \right\}; \\
 Q_{mn} &= \frac{2b}{n\pi} \cos \frac{n\pi}{2} \sin \frac{n\pi g}{2} \left\{ \frac{\sin \left[c \left(x_0 - \frac{m\pi}{a} \right) \right] \cos \left[\frac{\pi(m+1)}{2} \right]}{x_0 - \frac{m\pi}{a}} - \right. \\
 &\quad \left. - \frac{\sin \left[c \left(x_0 + \frac{m\pi}{a} \right) \right] \cos \left[\frac{\pi(m+1)}{2} \right]}{x_0 + \frac{m\pi}{a}} \right\},
 \end{aligned}$$

и

$$\tilde{G} = \frac{\gamma_0}{\gamma_0} \cdot \frac{2(2U_0 E + F)^2}{ab(2U_0^2 K_0 + L_0)},$$

где

$$\begin{aligned}
 E &= 2h \left\{ \frac{\cos \left[\frac{x_0 d - \frac{\pi}{a} (a_1 + a_{21})}{2} \right] \sin \left[\frac{d}{2} \left(x_0 + \frac{\pi}{a} \right) \right]}{x_0 - \frac{\pi}{a}} - \right. \\
 &\quad \left. - \frac{\cos \left[\frac{x_0 d + \frac{\pi}{a} (a_1 + a_{21})}{2} \right] \sin \left[\frac{d}{2} \left(x_0 + \frac{\pi}{a} \right) \right]}{x_0 + \frac{\pi}{a}} \right\}
 \end{aligned}$$

и

$$\begin{aligned}
 F &= 2g \left\{ \frac{\cos \left[\frac{x_0 (d - 2l) + \pi \left(1 - \frac{a_1 + a_{21}}{a} \right)}{2} \right] \sin \left[\frac{d}{2} \left(x_0 - \frac{\pi}{a} \right) \right]}{x_0 - \frac{\pi}{a}} - \right. \\
 &\quad \left. - \frac{\cos \left[\frac{x_0 (d - 2l) + \pi \left(1 + \frac{a_1 + a_{21}}{a} \right)}{2} \right] \sin \left[\frac{d}{2} \left(x_0 + \frac{\pi}{a} \right) \right]}{x_0 + \frac{\pi}{a}} \right\}.
 \end{aligned}$$

По выражению (12) для сочленения прямоугольного волновода с размерами $a = 72$ мм, $b = 34$ мм и H -волновода с размерами $2l = 35$ мм, $2h = 20$ мм, $2c = 17$ мм, $2g = 2$ мм были рассчитаны значения \tilde{B} и \tilde{G} в зависимости от λ_0 . Результаты расчета приведены в табл. 1 и на рис. 2.

Таблица 1

$\lambda_0, см$	5.0	7.0	8.0	9.0	10.0	13.0
\tilde{G}	0.098	0.085	0.083	0.081	0.078	0.064
\tilde{B}	1.60	0.72	0.24	-0.28	-0.84	-3.04

2. Экспериментальная часть

Для проверки результатов теоретического расчета была собрана установка, блок-схема которой приведена на рис. 3. Здесь 1 — генератор, 2 — фиксированный аттенюатор, 3 — измерительная линия на *H*-волноводе, 4 — измерительный усилитель, 5 — исследуемое сочленение, 6 — согласованная нагрузка.

Обработанные результаты измерений приведены в табл. 2. На рис. 2 пунктиром обозначена экспериментально снятая зависимость реактивной составляющей проводимости \tilde{B} от длины волны λ_0 .

Как видно из табл. 2 и рис. 2, экспериментальная кривая имеет тот же характер, что и теоретическая, но по сравнению с последней сдвинута в сторону более длинных волн. Соединение, как и следовало ожидать, имеет на определенной длине волны резонанс. Расхождение значений $\lambda_{рез. теор}$ и $\lambda_{рез. эксп}$ составляет около 10 %.

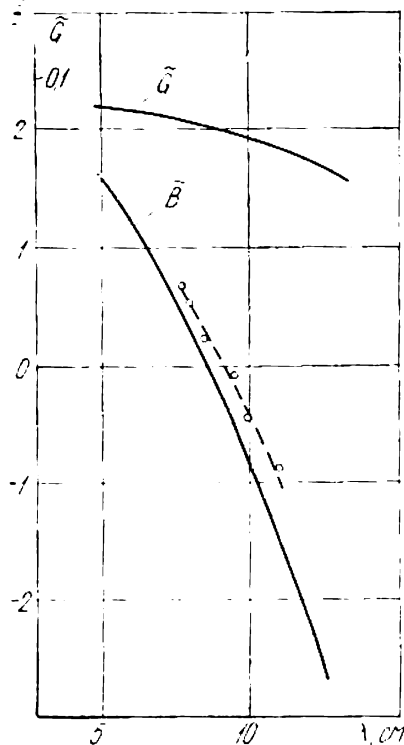


Рис. 2.

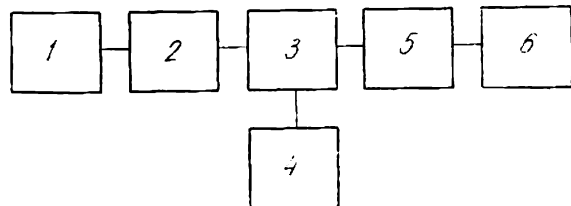


Рис. 3.

Таблица 2

$\lambda_0, см$	8.0	8.5	9.0	9.5	10.0	11.0
\tilde{B}	0.50	0.22	0.03	-0.12	-0.48	-0.90

На основании проделанной работы можно сделать следующие выводы:

1. Получены теоретические выражения для определения активной и реактивной составляющих полной нормированной проводимости сочленения прямоугольного и *H*-волновода.

2. Теоретические и экспериментальные кривые зависимости реактивной составляющей полной проводимости, хорошо совпадают и имеют одинаковый характер поведения.

3. Численные значения реактивной составляющей полной проводимости сочленения, полученные экспериментально, достаточно хорошо совпадают с теоретическими.

4. Данные, полученные в работе, могут быть использованы при конструировании выводов энергии генераторов СВЧ колебаний.

ЛИТЕРАТУРА

1. Л. Н. Дерюгин. Расчет критической частоты H -и L -волноводов. «Радиотехника», 1948, т. 3, № 6.
2. В. М. Седых, А. Ф. Зоркин, В. М. Дмитриев, Н. В. Ляпунов, Л. П. Яцук. Параметры H -волноводов в диапазоне миллиметровых и сантиметровых волн. ЖТФ, т. XXXI, № 6, 1961.
3. S. B. Cain. PIRE, v. 35, № 8, 1947.
4. А. Ф. Зоркин. Поля в прямых H - и крестообразных волноводах. «Уч. зап. Харьковск. ун-та», т. CXXI. Тр. радиофизич. ф-та, 1962, № 6.
5. Л. Левин. Современная теория волноводов, М., ИЛ, 1954.
6. E. D Fagteg. Proc. IEE, v. 103c, 1956.
7. В. С Ильин. Изв. вузов СССР. «Радиофизика», 1958, № 3.